

**ОСОБЕННОСТИ ФАЗОВОГО ПЕРЕХОДА
ПОРЯДОК-БЕСПОРЯДОК В НЕСТЕХИОМЕТРИЧЕСКИХ
КАРБИДАХ ПЕРЕХОДНЫХ МЕТАЛЛОВ**

© A.H. Емельянов

Институт структурной макрокинетики Российской академии наук,
142432 Черноголовка, Московской обл., Россия
(Поступила в Редакцию 8 мая 1996 г.)

В окончательной редакции 18 июля 1996 г.)

Проведены измерения температуро- и электропроводности нестехиометрических карбидов переходных металлов TiC_x и NbC_x в области фазового перехода порядок-беспорядок. На кривых температуро- и электропроводности карбидов имеются особенности, связанные с разупорядочением углеродной подрешетки. На основании наблюдаемых аномалий на кривых температуропроводности нестехиометрических карбидов переходных металлов выше температуры перехода порядок-беспорядок предполагается существование второго структурного перехода.

Нестехиометрические карбиды переходных металлов имеют широкие области гомогенности. При определенных условиях вакансии в углеродной подрешетке упорядочиваются, т. е. возникает дальний или ближний порядок [1,2]. В настоящей работе проведены исследования закономерностей поведения температуро- и электропроводности $TiC_{0.55}$ и $NbC_{0.87}$ в области фазового перехода порядок-беспорядок, связанного с разупорядочением углеродной подрешетки. Особое внимание обращено на температурную область выше температуры фазового перехода порядок-беспорядок, где на кривых температуропроводности исследованных карбидов имеет место особенность неизвестной природы.

1. Методика эксперимента

Образцы нестехиометрического карбида титана были синтезированы методом самораспространяющегося высокотемпературного синтеза с горячим прессованием [3]. Образцы TiC_x — поликристаллы с размером зерен 20–40 μm . Примеси в основном сосредоточены в виде отдельных включений размером несколько микрон и содержат следующие элементы: Ni, Fe, Ti, Si, Cu, Al (в порядке уменьшения концентрации). Общее количество примесей не превышает 0.05 wt.%. Пористость образцов $\sim 1\div 5\%$. Образцы $NbC_{0.87}$ — монокристаллы, выращенные методом плазменной переплавки в аргоне [4].

Измерения температуропроводности образцов проводили методом плоских температурных волн [5]. Этот метод состоит в следующем: одна сторона образца, который имеет форму пластины размером $12 \times 12 \text{ mm}$ и толщиной $0.2\text{--}1.0 \text{ mm}$, нагревается электронным пучком (модулированным синусоидально). При этом регистрируются температурные осцилляции противоположной стороны пластины-образца. Температуропроводность определяется по сдвигу фаз между осцилляциями мощности электронного пучка и температуры противоположной стороны пластины. Метод плоских температурных волн является хорошим инструментом для определения теплофизических свойств материалов и исследования фазовых переходов в твердом теле [6]. Температурные пульсации образца малы ($\sim 0.01\text{--}0.1 \text{ K}$), точность ($1\text{--}3\%$) измерений температуропроводности достаточно высока.

Удельное электросопротивление определяли стандартным четырехконтактным методом на постоянном токе ($\sim 20 \text{ mA}$) в печи сопротивления в вакууме $\sim 10^{-5} \text{ Torr}$ в температурном интервале $300\text{--}1500 \text{ K}$.

Упорядоченные фазы карбидов (Nb_6C_5 , Ti_2C) получали медленным отжигом ($\sim 10\text{--}20 \text{ h}$) ниже температуры фазового перехода порядок-беспорядок до температуры $\sim 500 \text{ }^\circ\text{C}$.

2. Экспериментальные результаты и их обсуждение

Результаты измерения температуропроводности и электросопротивления $\text{TiC}_{0.55}$, $\text{NbC}_{0.87}$ представлены на рис. 1, 2. Полученные из этих измерений значения температур фазового перехода порядок-беспорядок хорошо совпадают с имеющимися литературными данными [1, 2, 7, 8]. На кривых температуропроводности $\text{TiC}_{0.55}$, $\text{NbC}_{0.87}$ выше температуры перехода порядок-беспорядок зарегистрировано аномальное поведение температуропроводности.

На кривой электросопротивления аномалий выше температуры перехода порядок-беспорядок не обнаружено (рис. 2).

Аномальное поведение температуропроводности TiC_x выше температуры фазового перехода порядок-беспорядок регистрируется только для тех нестехиометрических карбидов, где наблюдается фазовый переход порядок-беспорядок, т. е. эта аномалия возникает для карбидов, в которых имеет место дальний порядок в углеродной подрешетке [8]. На кривых электросопротивления не обнаружено особенностей в этой температурной области. Можно предположить, что на кривой электросопротивления должна быть аномалия в виде слабо выраженного излома, которая не проявляется из-за недостаточной точности измерений электросопротивления при высоких температурах.

В работах [7, 9] представлены результаты низкотемпературных измерений электросопротивления $\text{NbC}_{0.87}$ и зарегистрирован переход в сверхпроводящее состояние. Эти измерения проводились на монокристаллических образцах, аналогичных использованным при измерении температуропроводности. Образцы перед низкотемпературными измерениями термообрабатывались при высокой температуре в области фазового перехода порядок-беспорядок. Термообработка состояла в закалке от различных температур. Зависимость температуры сверхпроводящего перехода от температуры закалки представлена на рис. 3.

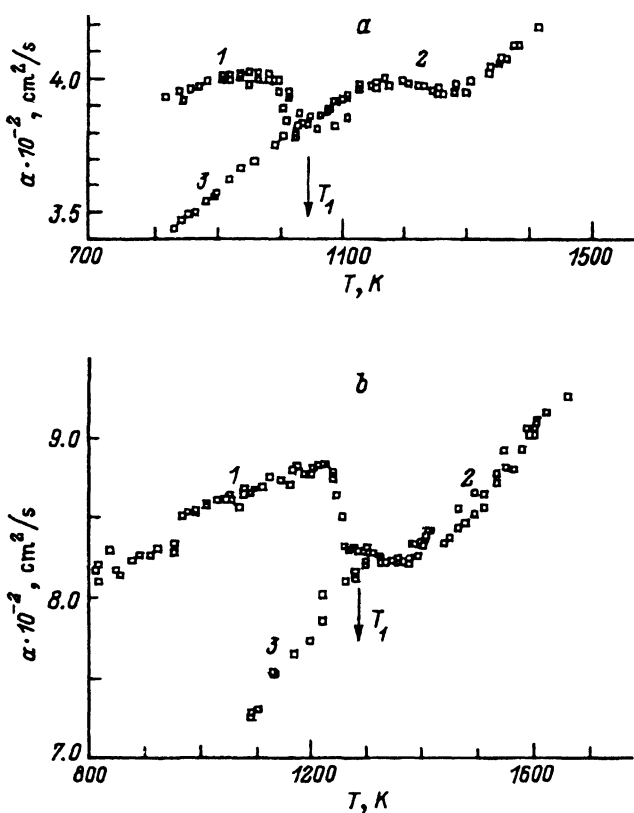


Рис. 1. Температурная зависимость температуропроводности карбидов переходных металлов $TiC_{0.55}$ (а) и $NbC_{0.87}$ (б).

1 — упорядоченная фаза, 2 — разупорядоченная фаза, 3 — закаленный образец. T_1 — температура перехода порядок-беспорядок.

В зависимости от температуры закалки температура и ширина сверхпроводящего перехода значительно меняется. Из рисунка выделены две характеристические температуры, которые отделяют три области. Первая температура — T_1 — температура фазового перехода порядок-беспорядок, вторая — T_2 выделена, так как закалка от температур выше T_2 и в диапазоне от T_1 до T_2 значительно изменяет температуру перехода в сверхпроводящее состояние, причем, чем ближе температура закалки к T_2 , тем шире переход. Этот факт позволяет предположить, что T_2 является температурой некоторого структурного перехода.

Температура T_2 попадает в температурную область, где на кривой температуропроводности $NbC_{0.87}$ наблюдается аномальное поведение. В литературе нет каких-либо данных о структурных переходах выше температуры перехода порядок-беспорядок. Исследования ближнего порядка в упорядоченных фазах карбидов переходных металлов [1, 10, 11] обнаруживают, что ближний порядок сохраняется и выше температуры перехода порядок-беспорядок. Авторы работы [10] обнаружили кластеры упорядоченной фазы $TiC_{0.64}$ размером $\sim 30 \text{ \AA}$, интерпретируя

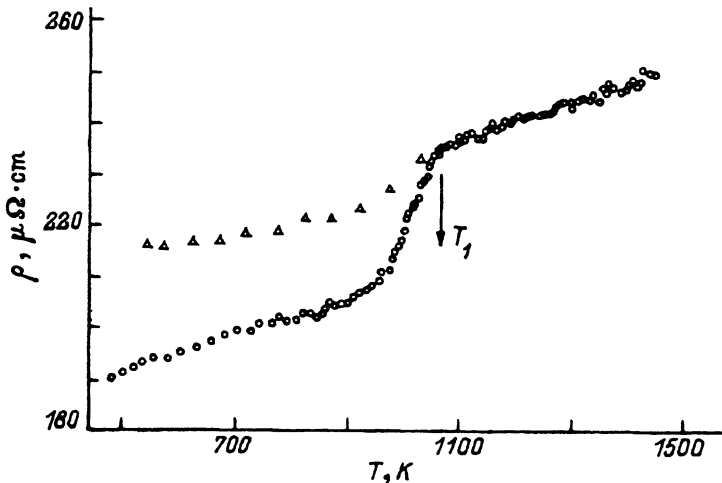


Рис. 2. Температурная зависимость электросопротивления $\text{TiC}_{0.6}$.

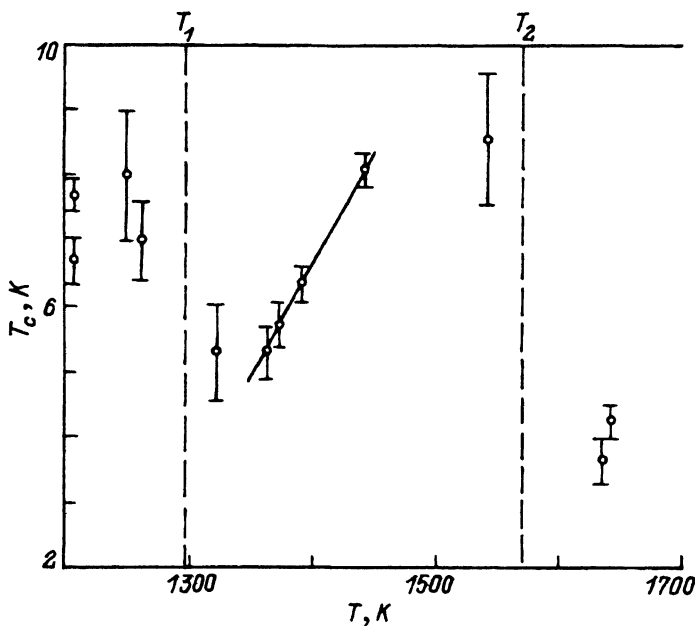


Рис. 3. Зависимость критической температуры перехода в сверхпроводящее состояние от температуры закалки.
Вертикальные отрезки соответствуют ширине сверхпроводящих переходов.

полученные ими данные из экспериментов по диффузному рассеянию нейтронов. Степень ближнего порядка уменьшалась с повышением температуры, но регистрировалась до температуры 1216 К. Поскольку выше температуры перехода порядок–беспорядок сохраняются кластеры упорядоченной фазы, то фазовый переход порядок–беспорядок в карбидах переходных металлов можно интерпретировать как переход с изменением радиуса корреляции от радиуса домена упорядоченной

фазы до радиуса кластера. Аналогичный характер фазового перехода порядок–беспорядок наблюдается в упорядоченных биметаллических фазах [12].

Можно предположить, что температура T_2 и аномалии на криевых температуропроводности нестехиометрических карбидов переходных металлов связаны с изменением характера ближнего порядка в углеродной подрешетке. Изменение ближнего порядка, вероятно, сопровождается изменением зонной структуры карбидов. Также можно предположить и другое объяснение, которое связано с тем, что при упорядочении углеродной подрешетки искажается металлическая подрешетка. При повышении температуры выше T_1 искажения исчезают, что должно сопровождаться вырождением электронных уровней (эффект Яна–Теллера), т. е. можно предположить, что при T_2 может быть ян–теллеровский переход. В [13] были проведены измерения теплопроводности соединения TmVO_4 в области кооперативного ян–теллеровского перехода. Характер аномалии на кривых теплопроводности, полученный в [13], подобен аномалиям наблюдавшимся на криевых температуропроводности в настоящей работе.

Таким образом, выше температуры перехода порядок–беспорядок обнаружены аномалии поведения физических свойств, имеющие место только для упорядочивающихся карбидов переходных металлов. Эти экспериментальные данные и данные работы [9] по определению температуры перехода в сверхпроводящее состояние в зависимости от температуры закалки позволяют предположить существование структурного перехода в указанной температурной области. Для выявления причин возникновения аномалий физических свойств выше температуры перехода порядок–беспорядок необходимы дополнительные исследования: высокотемпературная электронная спектроскопия и спектроскопия диффузного рассеяния нейtronов.

Список литературы

- [1] C.N. de Novion, V.J. Moisy-Maurice. J. Phys. Colloq. **38**, 7, С7-211 (1977).
- [2] А.И. Гусев, А.А. Ремпель. Структурные фазовые переходы в нестехиометрических соединениях. Наука. М. (1988). 308 с.
- [3] A.G. Merzhanov. In: Combustion and Plasma Synthesis of High-Temperature Materials. VCH Publ. Inc. N.Y. (1990). P. 1-53.
- [4] Е.М. Савицкий, В.С. Синельникова, Г.С. Бураханов, В.А. Кузмищев, Т.Я. Кололапов, В.Е. Мацера, И.А. Некрасов, В.В. Сдобырев. В сб.: Монокристаллы тугоплавких и редких металлов сплавов и соединений. Наука. М. (1977). С. 32-36.
- [5] А.Н. Емельянов. Препринт ОИХФ №: Т-14974. Черноголовка (1984).
- [6] В.Е. Зиновьев, И.Г. Коршунов. Обзор по теплофизическим свойствам материалов. ИВТАН. М. (1978). №: 1.
- [7] A.N. Emelyanov, T.G. Utkina, V.P. Kobyakov, A.E. Sichov, A.V. Karrov. SHS Journal **3**, 1, 109 (1994).
- [8] А.Н. Емельянов. Теплофизика высоких температур **28**, 2, 269 (1990).
- [9] Ю.С. Каримов, Т.Г. Уткина. Письма в ЖЭТФ **51**, 9, 468 (1990).
- [10] C.H. de Novion, J.P. Landesman. J.Pure Appl. Chem. **57**, 10, 1391 (1985).
- [11] Д.Я. Хватинская. Автореф. канд.дис. Ин-т ядерной физики АН УзССР. Ташкент (1989).
- [12] Н.М. Матвеева, Э.В. Козлов. Упорядоченные фазы в металлических системах. Наука. М. (1989). 246 с.
- [13] B. Daudin, B. Salce. J. Phys. **C15**, 453 (1982).